

Πρακτικά	δου	Συνεδρίου	Μάιος	1992
Δελτ. Ελλ. Γεωλ. Εταιρ.	Τομ.	XXVIII/1	σελ.	Αθήνα 1993
Bull. Geol. Soc. Greece	Vol.		pag.	Athens

ΤΡΙΤΟΓΕΝΗΣ ΕΚΤΑΣΗ ΗΠΕΙΡΩΤΙΚΟΥ ΦΛΟΙΟΥ ΚΑΙ ΑΝΥΨΩΣΗ ΤΟΥ  
 "ΜΕΤΑΜΟΡΦΙΚΟΥ ΣΥΜΠΛΕΓΜΑΤΟΣ" ΤΟΥ ΨΗΛΟΡΕΙΤΗ ΣΤΟ  
 ΚΕΝΤΡΙΚΟ ΤΜΗΜΑ ΤΟΥ ΕΛΛΗΝΙΚΟΥ ΤΟΞΟΥ (ΚΡΗΤΗ, ΕΛΛΑΔΑ)

Α.ΚΙΛΙΑΣ\*, Χ.ΦΑΣΟΥΛΑΣ\*, Δ.ΜΟΥΝΤΡΑΚΗΣ\*

Περίληψη

Κινηματική ανάλυση της παραμόρφωσης στην κεντρική Κρήτη έδειξε ότι η τεκτονική ανάπτυξη και αποκάλυψη των μεταμορφωμένων πετρωμάτων του πυρήνα της οροσειράς του Ψηλορείτη (*Psiloritis metamorphic core complex*), συνδέεται με μια, ευρείας κλίμακας, μειοκανικής πλικίας, σχεδόν οριζόντια, Β-Ν διεύθυνσης πλαστική έκταση και λέπτυνση ηπειρωτικού φλοιού. Το τεκτονικό αυτό καθεστώς αναπτύχθηκε κατά το στάδιο αποδυμπίσεως μιας, ολιγοκανικής πλικίας, υψηλής πίεσης συμπιεστικής τεκτονικής με Β-Ν διεύθυνση συμπιεσης και χαρακτηρίζεται από συνθήκες συνολικής ομοδεσμονικής παραμόρφωσης. Συμπίεση Α-Δ διεύθυνσης συγόρευσε τη μειοκανικής πλικίας, παραμόρφωση έκτασης, κατά τα τελευταία στάδια της.

Abstract

Kinematic analysis of deformation in the central Crete, indicated that structural evolution and exhumation of the metamorphic rocks, outcropping at the core of Psiloritis Mountains (*Psiloritis metamorphic core complex*), is associated with a regional scale, Miocene, subhorizontal, N-S directed, ductile extension and thinning of continental crust. This tectonic regime developed under bulk coaxial conditions and followed, at a depression stage, a high pressure, Oligocene N-S directed compression, which caused an overthickened prism in the Hellenic Arc. E-W directed compression, accompanied at the final stages the Miocene ductile extension.

Εισαγωγή

Με βάση τη μοντέρνα μεθοδολογία της κινηματικής ανάλυσης και της μελέτης των παραμορφώσεων (RAMSAY & HUBER 1983, 1987), παρουσιάζεται εδώ μια νέα ερμηνεία της τεκτονικής εξέλιξης της Κρήτης.

A. KILIAS - CH. FASOULAS & D. MOUNTRAKIS. Tertiary extension of continental crust and uplift of Psiloritis "metamorphic complex" in the central part of the Hellenic Arc (Crete, Greece).

\* Department of Geology, Aristotle University, Thessaloniki GR-54006, Greece.

Το νησί της Κρήτης βρίσκεται στο κέντρο του Ελληνικού τόξου και αναπτύσσεται παράλληλα προς τον κύριο άξονα του, που διαγράφεται από τις εξωτερικές Ελληνίδες ζώνες (σχ.1).

Η σημαντική αυτή τεκτονική θέση της Κρήτης, απετέλεσε από πολύ παλιά ένα ταχυρό κίνητρο για την εκπόνηση πλήθους γεωλογικών εργασιών από πολλούς ερευνητές. Στις εργασίες αυτές παρουσιάζεται μια έντονη συμπιεστική τεκτονική καλυμμάτων ως κύρια αιτία της προνεογενούς τεκτονικής θόρης του νησιού, που διαμορφώθηκε τελικά κατά την Τριτογενή ούγκρουση των μικροπλακών της Απούλας και της Ηπειρωτικής Ελλάδας (EPTING et al. 1972, CREUTZBURG & SEIDEL 1975, JACOBSHAGEN et al. 1978, DÜRR et al. 1978, FYTROLAKIS 1980, WACHENDORF et al. 1980, GREILING 1982, KRAHL et al. 1983, BONNEAU 1984, HALL et al. 1984, KILIAS et al. 1986, MEULENCAMP et al. 1988, ALEXOPOULOS 1989).

Κατά τα τελευταία χρονια μια σειρά εργασιών σε περιοχές αρχεικής δράσης. Θεωρεί τον ρόλο της εφελκυστικής τεκτονικής, κατά το στάδιο αποσυμπίεσης μιας ευρύτερης παραμορφώσης, ως ένα σημαντικό παράγοντα για τη θερινή εξέλιξη και αποκάλυψη μεταμορφικών συμπλεγμάτων, που σχηματίσθηκαν κατά τη διάρκεια υποβύθισης φλοιικών υλικών και σημαντικής αυξήσης του πάχους του "πρίσματος επαύξησης" (ENGLAND & THOMSON 1984, SONDER et al. 1987).

Μεταμορφικά συμπλέγματα, όπου διασώζονται υφές-μάρτυρες μιας ιστορίας πολυμεταμορφώσης τριτογενούς πλικιάς, αποκαλύπτονται με τη μορφή ασυμμετρών δόμων με κύρια Α-Δ ανάπτυξη σε όλη την έκταση του νησιού της Κρήτης, στα λευκά ύπη στα δυτικά, στην οροσειρά του Ψηλορείτη στο κέντρο εώς στην οροσειρά της Δίκτης στα ανατολικά (σχ.1).

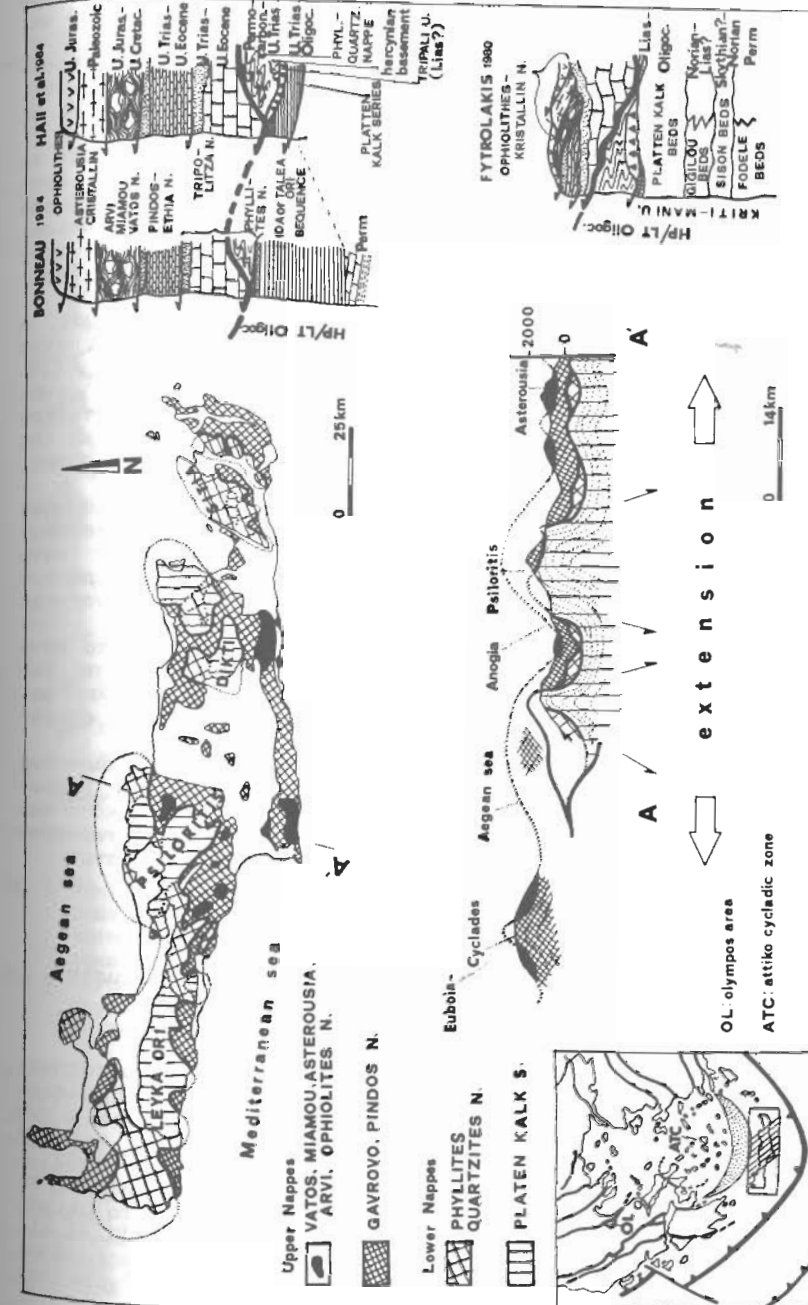
Σύμφωνα με τις παραπρήσεις μας στο κεντρικό τμήμα του νησιού προτείνουμε, ότι η αποκαλύψη του "μεταμορφικού συμπλέγματος" του Ψηλορείτη συνδέθηκε κατά τη διάρκεια του Ολιγοκαίνου-Μειοκαίνου με μια, ευρείας κλίμακας, τεκτονική διαδικασία έκτασης πειριωτικού φλοιού. Ο εφελκυσμός αυτού σημαδεύει όλες σχεδόν τις επαφές των τεκτονικών καλυμμάτων της Κρήτης και απετέλεσε το εξελικτικό στάδιο, του συμπιεστικού γεγονότος, που είχε ως αποτέλεσμα την σημαντική αύξηση του πάχους του "πρίσματος επαύξησης", στο κεντρικό τμήμα του Ελληνικού τόξου κατά το Ολιγόκαινο.

### Γεωλογική δομή της Κρήτης

Η Γεωλογία της Κρήτης χαρακτηρίζεται από μια πολύπλοκη, αλπικής πλικιάς, καλυμματική τεκτονική, καθώς και από μια σειρά τεκτονικών παράθυρων (σχ.1,2).

Ο ακριβής αριθμός των τεκτονικών καλυμμάτων, το ονομα τους, καθώς και η δομή τους, ποικίλει από συγγραφέα σε συγγραφέα (π.χ. EPTING et al. 1972, KUSS & THORBECKE 1974, CREUTZBURG & SEIDEL 1975, FYTROLAKIS 1980, KRAHL et al. 1983, BONNEAU 1984, HALL et al. 1984).

Το πολύπλοκο αυτό οικοδόμημα ετερογενών καλυμμάτων αποτελείται από τη βάση προς τα πάνω, από (σχ. 1): Τη σειρά πλακωδών ασβεστολιθών ή σύστημα (*sequence*). Ταλεών σρέων ή ενότητα Κρήτης- Μάνης (EPTING et al. 1972, SEIDEL 1978, FYTROLAKIS 1980, KÖNIG & KUSS 1980, SEIDEL et al. 1982, HALL et al. 1984), την ενότητα Τρυπαλίου (CREUTZBURG & SEIDEL 1975, KOPP & OTT 1977, FYTROLAKIS 1978, KRAHL et al. 1983, KILIAS et al. 1986), το κάλυμμα Φυλλιτών-χαλαζιτών (CREUTZBURG & SEIDEL 1975, SEIDEL 1978, SEIDEL et al. 1982, KRAHL et al. 1983), το κάλυμμα Γαθρόβου-Τρίπολης (ZAGER 1972, CREUTZBURG & SEIDEL 1975, KOPP



Σχ. 1. Απλοποιημένος γεωλογικός χάρτης του νησιού της Κρήτης και γεωλογική δομή της Κρήτης, δειχνύοντας τη διαδοχική απολύτευση των τεκτονικών καλυμμάτων της Κρήτης.

Fig. 1 Simplified geological map of Crete and geological cross section (A-A').

& OTT 1977, FYTROLAKIS 1980, ALEXOPOYLOS 1989), το κάλυμμα της Πίνδου (SEIDEL 1971, BONNEAU & FLEYRY 1971), τα καλύμματα Αρβης, Μιαμού και Βάτου (VICENTE 1972, BONNEAU et al. 1974, BONNEAU & LYS 1978, FYTROLAKIS 1980, KRAHL 1982, BONNEAU 1984), το κάλυμμα των Αστερουσίων (DAVIS 1967, CREUTZBURG & SEIDEL 1975, SEIDEL et al. 1981, BONNEAU 1984) και το Οφιολιθικό κάλυμμα (THORBECKE 1973, SEIDEL et al. 1981).

Η δομή αυτού του πολύπλοκου οικοδομήματος καλυμμάτων υπήρξε το αποτέλεσμα μιας πολύπλοκης τεκτονο-μεταμορφικής διεργασίας. Αυτή έκεινης αρχικά στο Άνω Ιουρασικό και ολοκληρώθηκε στο Ανώτερο Τριτογενές, κατά τη διάρκεια εξέλιξης του ορογένετικού κύκλου, υποβύθισης/ηπειρωτικής σύγκρουσης, όπως περιγράφεται από τους JACOBSHAGEN et al. 1978, WACHENDORF et al. 1980, FYTROLAKIS 1980, ALTHERR et al. 1982, BONNEAU 1984.

Στη συνέχεια περιγράφεται, σύμφωνα με τις παρατηρήσεις μας, η κινηματική και η πορεία της παραμορφωτικής αυτής διεργασίας στην κεντρική Κρήτη κατά το Ανώτερο Τριτογενές.

Με βάση την τεκτονική υψή και την μεταμορφική ιστορία καθ' ενός από τα τεκτονικά καλύμματα και παραπόρωντας ότι και αυτή η κατώτερη σειρά των πλακωδών ασβεστολίθων μετακινήθηκε κατά την τεκτονική της εξέλιξης, χωρίσαμε το οικοδόμημα των καλυμμάτων της κεντρικής Κρήτης, σε δύο μεγάλες ομάδες (σχ. 1, 6, 7).

-Τα κατώτερα καλύμματα, που περιλαμβάνουν τη σειρά των πλακωδών ασβεστολίθων και το κάλυμμα των φυλλιτών-χαλαζιτών. Αυτά υπέστησαν μια ολιγοκαϊνική, υψηλής πίεσης μεταμόρφωση και ανήκουν στην "Κάτω πλάκα", που υποβύθισθηκε κατά το Ολιγόκαινο, όπως φανερώνουν τουλάχιστον, οι συνθήκες μεταμόρφωσης, που επηρέασαν τις δύο ενότητες κατά την εποχή αυτή.

-Τα ανώτερα καλύμματα, που περιλαμβάνουν όλα τα καλύμματα πάνω από το κάλυμμα των φυλλιτών-χαλαζιτών. Αυτά τα καλύμματα δεν επηρέασθηκαν από την ολιγοκαϊνική υψηλής πίεσης μεταμόρφωση και απετέλεσαν την "πάνω πλάκα". κατά τη διάρκεια εξέλιξης του ολιγοκαϊνικού αυτού υψηλής πίεσης γεγονότος.

Στην κεντρική Κρήτη τα κατώτερα καλύμματα καταλαμβάνουν ένα μεγάλο τμήμα του ορεινού συγκροτήματος του Ψηλορείτη και των Ταλέων Θρέων. Αυτά αποκαλύπτονται με τη μορφή τεκτονικού παράθυρου, κάτω από το κάλυμμα του Γαβρόβου και των υπολοιπών καλυμμάτων της ανώτερης ομάδας, σχηματίζοντας έτσι έναν "μεταμορφικό πυρήνα" πετρώματων.

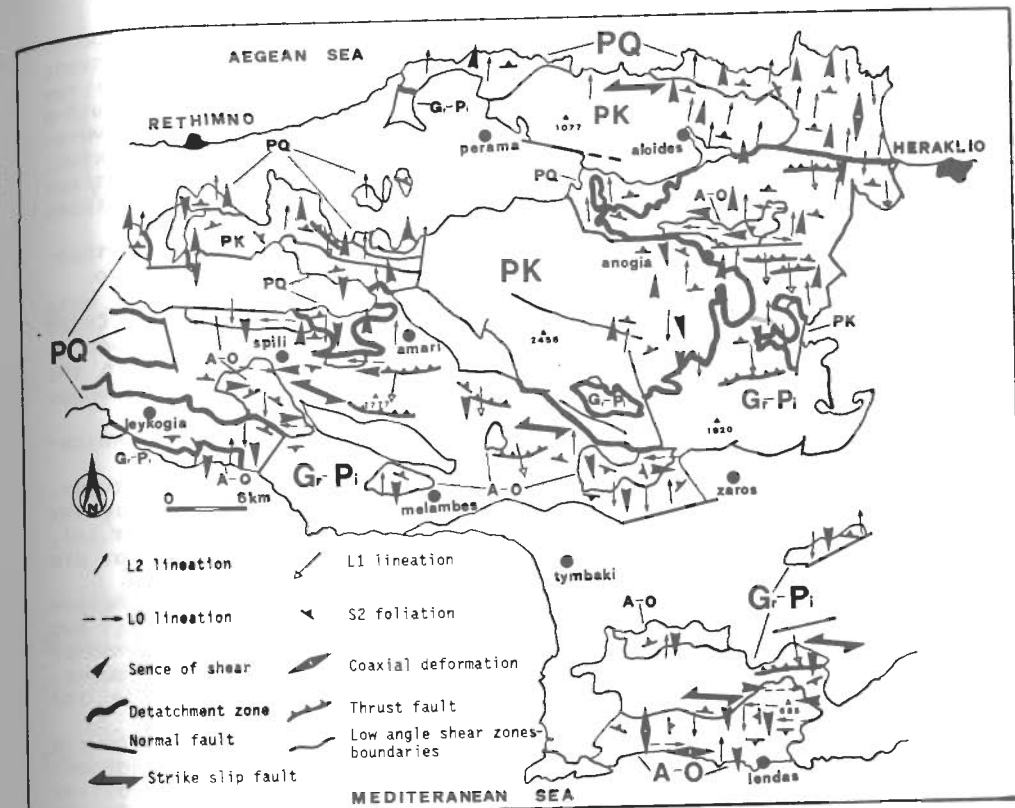
#### Το "Μεταμορφικό σύμπλεγμα του Ψηλορείτη". Κατώτερα καλύμματα.

##### Γεωμετρία της τεκτονικής δομής.

Τα πετρώματα του "μεταμορφικού πυρήνα" του Ψηλορείτη υπέστησαν μια πολύπλοκη πολυφασική τεκτονομεταμορφική επεξεργασία, η αλπική πλική της οποίας τεκμηριώνεται από την στρωματογραφική ηλικία των ιζημάτων του πυρήνα (EPTING et al. 1972, FYTROLAKIS 1980) και την ισοτοπική ηλικία των μεταμορφικών επεισοδίων (SEIDEL et al. 1982).

Με δεδομένο ότι και η σειρά των πλακωδών ασβεστολίθων και το κάλυμμα των φυλλιτών-χαλαζιτών μεταμόρφωθηκαν αρχικά κατά το Ολιγόκαινο σε συνθήκες υψηλής πίεσης - χαμηλής θερμοκρασίας (SEIDEL et al. 1982), η παραμόρφωση τους θα πρέπει να θεωρηθεί ότι ακολούθησε παρόμοια πορεία και έλαβε χώρα σε ανάλογα επίπεδα. Ιδιαίτερα χαρακτηριστικά αποτυπώνεται η τεκτονική υψη στην ενότητα των φυλλιτών-χαλαζιτών. Οι θέσεις των παρατηρήσεων μας φαίνονται στο σχ. 2. Ορισμένες εξ' αυτών περιγράφονται στις επεξηγήσεις των φωτογραφιών. Οι φωτογραφίες απεικονίζουν τις αντιπροσωπευτικότερες δομές καθενός από τα τεκτονικά γεγονότα που περιγράφονται.

Η αρχαιότερη δομή που αναγνωρίζεται είναι υπολειμματικές "intrafolial"-B1-πτυχές (σχ. 6, 7, φωτ. 1a), συνδεδεμένες με μια S1-σχιστόπτητη, ελάχιστες φορές ομως ορατή, αφού συνήθως περιστρέφεται παράλληλα στις υφές της επόμενης παραμόρφωσης. Οι πτυχώμενες B1 δομές διαγράφονται κυρίως από παλιές χαλαζιτικές φλέβες και έχουν κύρια B-N ανάπτυξη (σχ. 3). Αποτελούν πιθανόν, τις υπολειμματικές υφές ενός αρχικού D1-συμπλεκτικού γεγονότος, για το οποίο δεν μπορούμε να



Σχ. 2. Τεκτονικός χάρτης της κεντρικής Κρήτης. PK: σειρά πλακωδών ασβεστολίθων, PQ κάλυμμα φυλλιτών-χαλαζιτών, Gr-Pi καλύμματα Γαβρόβου-Τρίπολης και Πίνδου, AO καλύμματα Αρβης, Βάτου, Μιαμού, Αστερουσίων και οφιολίθων.

Fig. 2 Structural map in the area of Central Crete. PK: Platten kalk series, PQ: Phyllites-Quartzites nappe, Gr-Pi: Gavrovo-Tripolis and Pindos nappes, AO: Arvi, Vatos, Miamou, Asterousia and Ophiolites nappes.

Την εποχή αποτυπώνεται η τεκτονική υψη στην ενότητα των φυλλιτών-χαλαζιτών. Οι θέσεις των παρατηρήσεων μας φαίνονται στο σχ. 2. Ορισμένες εξ' αυτών περιγράφονται στις επεξηγήσεις των φωτογραφιών. Οι φωτογραφίες απεικονίζουν τις αντιπροσωπευτικότερες δομές καθενός από τα τεκτονικά γεγονότα που περιγράφονται.

έχουμε περισσότερες πληροφορίες.

Μεσοσκοπικής κλίμακας υψές παραμόρφωσης του δευτερου παραμόρφωτικού γεγονότος (D2) αποτελούν μια καλά διατηρημένη, διαμπέρτης S2-σχιστότητα (φωτ. 1a,b), που αποτελεί την κύρια σχιστότητα των κατώτερων καλυμμάτων και μια L2-γράμμωση έκτασης, με μια περίου B-N διεύθυνση ανάπτυξης (σχ.2,3). Η γράμμωση αυτή ορίζεται από προσανατολισμένα, επιμηκυσμένα και ρηγματωμένα ορυκτά ή συσσωματώματα ορυκτών, καθώς και από την ανάπτυξη κρυσταλλών μέσα σε μια ομάδα εφελκυστικών φλεβών. Η S2-σχιστότητα αναπτύσσεται, σε γενικές γραμμές, με μικρές γωνίες κλίσεως, προς τα νότια ή βόρεια (σχ.3).

Στοιχεία προσδευτικής παραμόρφωσης έδειξαν τοπικά, μια αριστερόστροφη προς τα BΔ περιστροφή της διεύθυνσης έκτασης, στον χρόνο.

Εξελικτικά, σε μικρο και σε μέγα κλίμακα, αναπτύσσονται σε ψυχρότερες συνθήκες, εφελκυστικές συζυγείς μικρής γωνίας κλίσης ζώνες διάτμησης (Shear Bands), με έννοια της διάτμησης το επάνω προς τα βόρεια ή προς τα νότια (σχ.6,7, φωτ. 1a,e). Στο στάδιο αυτό της ολίσθησης παρατηρείται κατά τόπους ανάπτυξη ασύμμετρων S-, Z-μορφών πτυχών, με φορά αντίστοιχα προς τα βόρεια ή νότια.

Ακολουθούν σε ακόμη ψυχρότερες συνθήκες knick-πτυχές και knick-ζώνες.

Μια τρίτη γενεά ασύμμετρων, κλειστών έως ανοιχτών B22-πτυχών, κεκλιμένων προς τα Α ή Δ, αναπτύσσεται συχνά παράλληλα προς την L2-γράμμωση έκτασης πτυχώνοντας την S2-σχιστότητα (σχ.3, φωτ.1c). Παράλληλα προς το αξονικό επιπεδο των πτυχών αυτών τοποθετείται μια νεότερη S22-σχιστότητα.

Ανάστροφα ρήγματα με ανάλογη κίνηση προς τα Α ή Δ συνοδεύουν συχνά το συμπιεστικό αυτό γεγονός, το οποίο φαίνεται να αποτελεί ένα εξελικτικό, σχετικά νεότερο στάδιο της B-N διεύθυνσης D2-έκτασης, αποτέλεσμα αξονικής επιμήκυνσης (constrictional) -τύπου παραμόρφωσης. Ανάπτυξη δηλαδή μιας συμπιεστικής συνιστώσας στη διεύθυνση του Y-άξονα του ελειψειδούς παραμόρφωσης του D2 γεγονότος.

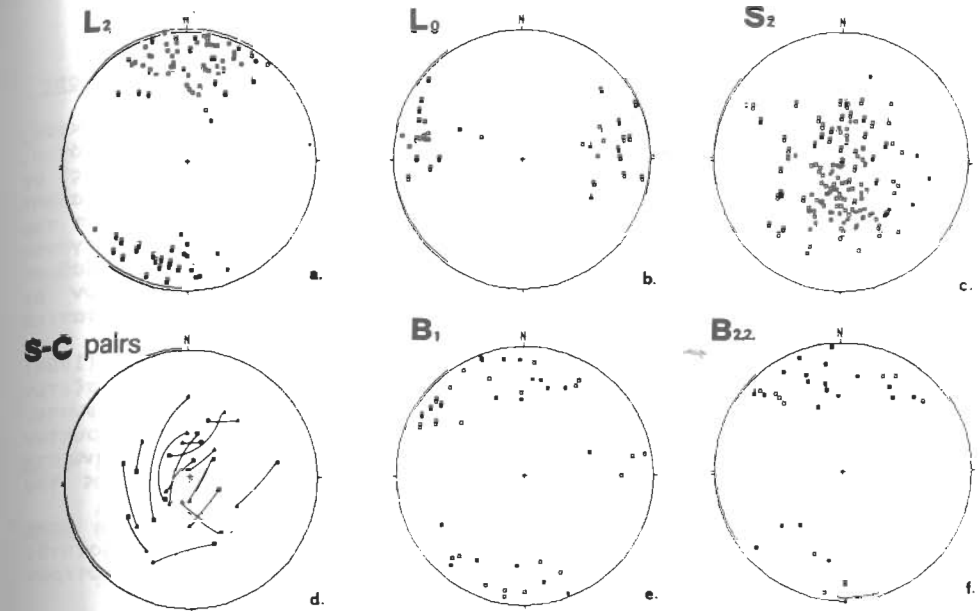
Τέλος μεγάλης γωνίας κλίσης ρήγματα (>70°) με σημαντική οριζόντια συνιστώσα κίνησης, διασχίζουν συχνά τα πετρώματα του υποβάθρου. Προκειται κυρίως για ΔΒΔ-ΑΝΑ διεύθυνσης αριστερόστροφες, οριζόντιας μετατόπισης ρηγιγνείς δομές, συχνά συνδεδεμένες με την ανάπτυξη ΒΑ-ΝΔ διεύθυνσης, δεξιόστροφων οριζόντιας μετατόπισης ρηγμάτων (σχ.2). Θεωρούμε τη συζυγή αυτή ανάπτυξη των ρηγμάτων ταυτόχρονη, αποτέλεσμα μιας Α-Δ συμπιεσης, ανάλογης του D22 -γεγονότος, και αντίστοιχης B-N έκτασης (σχ.5d).

Η εμφάνιση Α-Δ διεύθυνσης κανονικών ρηγμάτων με σχεδον κατακορυφή συνιστώσα κίνησης, συνδεδεμένα παρόμοια με εφελκυσμό B-N διεύθυνσης (σχ.2,5) και η εμφάνιση μικρής γωνίας μεταξύ των ΒΔ-ΝΑ και ΒΑ-ΝΔ διεύθυνσεων, συζυγών, οριζόντιας μετατόπισης ρηγιγνεών ζευγών, φανερώνει αξονικής επιμήκυνσης-τύπου παραμόρφωση.

#### Κινηματική της παραμόρφωσης.

Ως δείκτες κινηματικής χρονιμοποιηθηκαν, S-C-υφές, π συμμετρίας των "mica fish", η συμμετρία S-, Z-μορφών πτυχών μέσα σε ετερογενείς ζώνες διάτμησης, η γεωμετρία εφελκυστικών ζωνών διάτμησης (ecc), η συμπεριφορά συμπαγών κλαστών μέσα σε πλαστικά παραμορφώμενή γειτονική μάζα και η ανάπτυξη σ- και δ-κλαστών (Φωτ.1, RAMSAY & HUBER 1983, 1987).

Η πλαστική D2-παραμόρφωση διασώζεται ως το κυριαρχο τεκτονικό γεγονός στα μεταμορφωμένα πετρώματα των κατώτερων τεκτονικών καλύμματων. Η παραμόρφωση αυτή παρέχει έτσι χαρακτηριστικά κριτήρια για



Σχ. 3. Προσανατολισμός μεσοσκοπικής κλίμακας, επίπεδης και γραμμικής υφής, στην περιοχή του "μεταμορφικού συμπλέγματος", του Ψηλορείτη: a. L2 γράμμωση έκτασης, b. L0 γράμμωση έκτασης, c. S2 σχιστότητα, d. S-C δομές του D2 γεγονότος, τετράγωνα S επιφάνειες, τρίγωνα C επιφάνειες, e. Β άξονες των B1 ισοκλινών πτυχών, f. Β-άξονες των B22 ασύμμετρων πτυχών.

Fig.3 Lower hemisphere, equal area projection (Schmidt diag.) of planar and linear fabrics, observed in the area of Psiloritis "metamorphic core complex": a. L2 stretching lineation, b. L0 stretching lineation, c. S2 foliation, d. S-C structures of D2 event, squares indicate S planes, triangles C planes, e. b-axis of B1 isoclinal folds, f. b-b axis of the asymmetric B22 folds.

την ανάλυση της και την εξακρίβωση της έννοιας της κίνησης κατά τα οποία διαδέχεται η εξέλιξη της. Οι επαναπτυχωμένες υπολειμματικές υφές της ΔΙ-παραμόρφωσης, δεν διασώζουν ασφαλή κριτήρια για την ανάλυση της κινηματικής στο αρχικό αυτό στάδιο παραμόρφωσης του "μεταμορφικού συμπλέγματος".

Ολοι οι δείκτες κινηματικής και τα κριτήρια διάτμησης δειχνούν, κατά την πορεία ανάπτυξης του D2-γεγονότος, είτε μια συνολική ομοαξονική-παραμόρφωση (φωτ. 1a,d), είτε τοπικά μη ομοαξονική ροή (φωτ.1b,e) με αντιθετική έννοια διάτμησης, συνδεδεμένη με τις εφελκυστικές ζώνες διάτμησης της D2-τεκτονικής (σχ.6, φωτ.1a). Αυτή η περιστροφική παραμόρφωση με σχετική απομάκρυνση των επί μέρους τεμάχων, κατά μήκος των συζυγών ζωνών διάτμησης, φανερώνει το εφελκυστικό καθεστώς, στο οποίο έλαβε χώρα το D2-παραμορφωτικό γεγονός, επηρεάζοντας συγχρόνως σε μεγάλο βάθμο τις προηγούμενες ΔΙ-δομές, μέχρι και τελείας εξαφανισης τους στο μεγαλύτερο μέρος του "μεταμορφικού συμπλέγματος" (σχ.2,6,7).

### Σχέσεις παραμόρφωσης-μεταμόρφωσης και ηλικία της παραμόρφωσης

Συγχρονά με τη S2-επιφάνεια ανάπτυξη προσανατολισμένων ορυκτών, ασβεστίτη, χαλαζία, χλωρίτη, ακτινολίθου, πράσινου βιοτίτη, επιδότου, αλβίτη και λευκού μαρμαρούγια, σιγμοειδής ανάπτυξη Si-υψής σε περιστραφέντες κρυστάλλους αλβίτη και η συνέχεια της χωρίς διακοπή και σε συμφωνία στη Se=S2-σχιστότητα, δυναμική ανακρυστάλλωση του χαλαζία κατά μήκος των S2-επιφανειών, φανερώνουν ότι το D2-γεγονός αποτελεί συμμεταμορφική παραμόρφωση ως προς μια χαμηλού βαθμού M2-μεταμόρφωση. Πολυγωνικά σχήματα χαλαζία με ορια κόκκων σε ισορροπία και "τριπλά σημεία". Δείχνουν μια συνεχιζόμενη στατική θέρμανση και μετά την παραμόρφωση.

Οι SEIDEL (1978), SEIDEL et al. (1982) και HALL et al. (1984) αναφέρουν επίσης, για το τεκτονικό κάλυμμα των φυλλίτων-χαλαζιτών την επίδραση μιας ανάδρομης πρασινοσχιστολιθικής φάσης μεταμόρφωσης.

Η προσανατολισμένη ανάπτυξη και επιμήκυνση των συν-D2-ορυκτών και/ή ο μηχανικός επαναπροσανατολισμός προϋπαρχόντων ορυκτών πάνω στη S2-σχιστότητα, διαγράφουν την κυριαρχή L2- γραμμώση έκτασης του "μεταμορφικού συμπλέγματος" στην διεύθυνση B-N.

Μερική ανάπτυξη και ανακρυστάλλωση χλωρίτη και σερικίτη κατά μήκος των S22-επιφανειών, δείχνουν ότι η προσφορά θερμότητας συνεχίζεται και σ' αυτό το στάδιο παραμόρφωσης των κατώτερων καλυμμάτων.

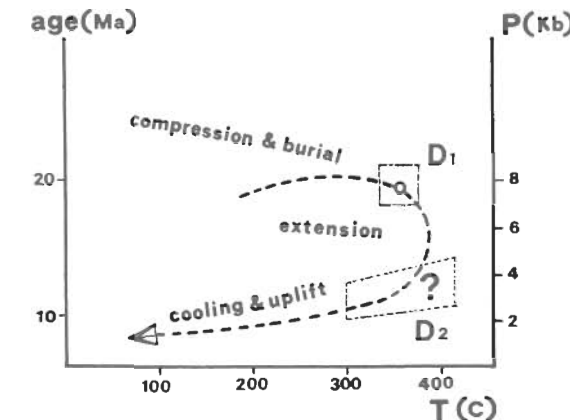
Όλες οι παρατηρήσεις σε συνδυασμό με το καθεστώς του εφελκυσμού, κατά το οποίο φαίνεται ότι εξελίχθηκε η D2 παραμόρφωση, τοποθετούνται στην συν-M2-, D2-γεγονός στο μονοπάτι αποδυμπίεσης ενός μεταμορφικού κύκλου (σχ.4).

Οι SEIDEL (1978), SEIDEL et al. (1982), περιγράφουν επι πλέον για την ενότητα φυλλίτων-χαλαζιτών και πλακωδών ασβεστολιθών μια HP/LT-μεταμόρφωση, σε συνθήκες γλαυκοφαντικής-λωσονιτικής φάσης. Άυτη αποτελεί, πιθανόν, το σύγχρονο μεταμορφικό γεγονός με την υπολειμματική D1-παραμόρφωση, που θα πρέπει να εξελίχθηκε έτσι στο στάδιο της συσσωρευσής των καλυμμάτων και της πάχυνσης του "πρίσματος επαυξησης", στο κεντρικό τμήμα του Ελληνικού τόξου, ταυτόχρονα με την υποβύθυση (underplattting) κάτω από την πεπειρωτική πλάκα των ανωτέρων καλυμμάτων, των δύο πηειρωτικής προέλευσης ενοτήτων των φυλλίτων-χαλαζιτών και των πλακωδών ασβεστολιθών (σχ.7).

Το P-T-t διαγράμμα, σε σχέση με τα στάδια εξελίξης των παραμόρφωσεων, δίδεται στο σχ.4. Στοιχεία συνθηκών μεταμόρφωσης και απολυτης πλικίας των μεταμορφικών γεγονότων προέρχονται από τους SEIDEL (1978), ALTHERR et al. (1982), SEIDEL et al. (1982).

Το υψηλής πιεσης μεταμορφικό επεισόδιο τοποθετείται, το τοπικά μόνο στην κεντρική Κρήτη διατηρημένο συμπιεστικό D1-γεγονός, στο Ολιγοκαίνιο. Αυτό εξελίχθηκε συγχρονά με μια υψηλής θερμοκρασίας, θερμοκαίνικής πλικίας Barrow-τύπου μεταμόρφωση, στο εσωτερικό του τόξου, στην περιοχή των Κυκλαδών (ALTHERR et al. 1982). Ταυτόχρονα με τη λέπτυνση του φλοιού και τη διαφυγή μαζών στις Κυκλαδες την περίοδο αυτή (LISTER et al. 1984), αναπτύσσεται στην περιοχή της Κρήτης η συσσωρευση των καλυμμάτων και η αύξηση του πάχους του φλοιού (σχ.1,7).

Το καθεστώς αυτό συμπίεσης ακολουθείται από την εκ νέου λέπτυνση του οικοδομήματος των καλυμμάτων και την M2-θέρμανση, τώρα στην περιοχή της Κρήτης.



Σχ. 4 Διάγραμμα πιεσης-θερμοκρασίας-χρόνου-παραμόρφωσης του "μεταμορφικού συμπλέγματος" του Ψηλορείτη. P-T-t συνθήκες από SEIDEL 1978 και SEIDEL et al. 1982.

Fig.4 P-T-t path of metamorphism and deformation in the area of Psiloritis "metamorphic core complex". P-T-t estimations are from Seidel 1978 and Seidel et al. 1982.

Αυτό σημαίνει ότι η λέπτυνση και η αναθέρμανση του φλοιού στον "μεταμορφικό πυρήνα" άρχισε αμέσως μετά το Ολιγόκαινο, μετατοπίζοντας έτσι τη συμπίεση ακόμη νοτιότερα (σχ.7).

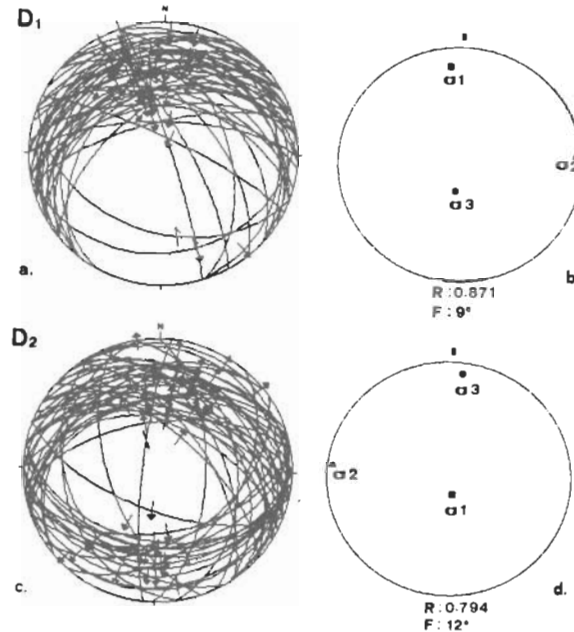
### Τα ανώτερα τεκτονικά καλύμματα.

Τα ανώτερα τεκτονικά καλύμματα σχηματίζουν ένα εντελώς ετερογενές σύνολο τεκτονικών ενοτήτων και ακολουθούν κατά τη γνωμη μας ένα διαφορετικό μονοπάτι τεκτονομεταμορφικής εξελίξης, από αυτό του "μεταμορφικού πυρήνα".

Στην ευρύτερη περιοχή του "μεταμορφωμένου δόμου" του Ψηλορείτη εμφανίζεται όλη η ακολουθία της ανώτερης ομάδας των καλυμμάτων. Τα επι μέρους καλύμματα όμως δείχνουν μια μεγάλη διακύμανση στη διατήρηση του πάχους τους, έτσι ώστε κατά τόπους να απολεπτύνονται μέχρι μερικών μόνο μέτρων ή και να λείπουν εντελώς από την τεκτονο-στρωματογραφική στήλη, σχηματίζοντας σε μεγαλίμακα boudinage δομες (σχ.4,5). Συχνά παρατηρούνται οφιολίθικά πετρώματα κατευθείαν πάνω στα Ιζήματα του καλύμματος της Γαβρόβου-Τρίπολης, ενώ πάνω στην κατώτερη ενότητα των πλακωδών ασβεστολιθών, κατ ευθείαν χωρίς τη μεσολάβηση του καλύμματος των φυλλίτων-χαλαζιτών, τοποθετείται το αμεταμόρφωτο καλύμμα του Γαβρόβου-Τρίπολης (σχ.1).

Πλαστικής παραμορφώσης ολιγοκαίνικής-μειοκαίνικής ηλικίας δομές, ανάλογες μ' αυτές του "μεταμορφικού πυρήνα" δεν αναγνωρίσθηκαν στα ανώτερα τεκτονικά καλύμματα. Αυτά στο αντίστοιχο διάστημα του Ολιγοκαίνου-Μειοκαίνου, φαίνεται να αντιδρούν ως μια περισσοτερο ακματική πηειρωτική μάζα.

Άρχικά ως κύριες συμπίεστικές δομές αναπτύσσονται ανάστροφα ρήγματα με Α-Δ παράταξη και με κύρια φορά κίνησης προς Νότο (σχ.2,7). Λούνημετρες, αναστραμμένες, γωνιώδεις πτυχές, με φορά προς Νότο, συνοδεύουν συχνά την προς Νότο λεπίωση του πηειρωτικού υλικού. Άντιθετικά ανάστροφα ρήγματα (back thrust) με αντίθετη προς Βορρά



Σχ. 5 Ανάλυση παλαιοτάσεων των δύο κύριων εξελικτικών γεγονότων, συμπλεστις (D1) και εφελκυσμού (D2), στα ανωτέρα τεκτονικά καλύμματα (R, ελλειπτικότητα του ελλειψιοειδούς των τάσεων, F, διακύμανση).

Fig.5 Paleostress analysis of the two main evolutionary events (compressional D1, extensional D2), at the upper nappes (explanations in text).

φορά κίνησης, παρατηρούνται συχνά, ως συνοδείς εξελικτικές δομές της κύριας προς Νότο λεπίωσης των ενοτήτων (σχ.2,7).

Με βάση την μέθοδο ANGELIER (1979) έγινε ανάλυση των παλαιοτάσεων ( $\sigma_1 > \sigma_2 > \sigma_3$ ) κατά το συμπλεστικό αυτό γεγονός (σχ.5). Υπολογίσθηκε έτσι, ότι ο σι-άξονας της μικρότερης τάσης, τοποθετείται με μεγάλη γωνία κλίσης στη διεύθυνση Βορρά-Νότου, ενώ ο σι-άξονας της μέγιστης τάσης είναι σχεδόν οριζόντιος, με BBΔ-NNΑ διεύθυνση.

Πιστεύουμε ότι η ολιγοκαϊνική ηλικίας αυτή συμπλεστική τεκτονική (CREUTZBURG & SEIDEL 1975, BONNEAU 1984), αποτελεί την έκφραση στην ανωτέρη πλάκα, της υψηλής πίεσης D1-παραμόρφωσης που περιγράψαμε για τα κατώτερα καλύμματα (σχ.7).

Επαναδραστηριοποίηση των ανάστροφων D1-ρηξιγενών δομών, ως κανονικών ρηγμάτων με αντιθετική έννοια κίνησης προς βόρεια ή νότια, καθώς και συζυγή ανάπτυξη νέων λυστρικών εφελκυστικών ρηγμάτων (φωτ.1f), με ανάλογη φορά κίνησης, ακολουθούν σε θραυσιγενείς (brittle) συνθήκες τη συσσώρευση των καλυμμάτων. Συγχρόνως αναπτύσσονται συντεκτονικές λεκάνες με μειοκαϊνικά ιζήματα (PAPAPETROU-ZAMANI 1965, MEULENKAMP et al. 1977), τα οποία ιζήματα χαρακτηρίζουν έτσι την αρχική ηλικία αυτής της έκτασης της ανωτέρης πλάκας, που λαμβάνει χώρα συνεπώς ταυτοχρόνα με την πλαστική D2-έκταση του μεταμορφικού πυρήνα (σχ.6,7).

Ανάλυση των παλαιοτάσεων με την μέθοδο ANGELIER (1979), εδειξε ότι κατά το εφελκυστικό αυτό γεγονός, ο σι-άξονας αναπτυσσεται σε βορεια-νότια διεύθυνση με πολύ μικρή γωνία κλίσης, παράλληλα δηλαδή στην L2 γράμμωση έκτασης, ενώ ο σι-άξονας είναι σχεδόν κατακορυφος (σχ.5).

Knick-πτυχές και knick-ζώνες με B-N ανάπτυξη συνοδεύουν συχνά αυτόν τον κατακερματισμό των ανώτερων καλυμμάτων στο Μειόκαινο, όπως και στα κατώτερα καλύμματα, ως μια constrictional-τύπου παραμόρφωση, σε ψυχρότερες δημοσιεύσεις συνθηκές.

Σε δύο περιπτώσεις ανάγνωρισθηκε και μελετήθηκε το όριο μεταξύ του σικοδομήματος των ανωτέρων καλυμμάτων και του "μεταμορφικού συμπλέγματος" της κατώτερης πλάκας, αυτό φαίνεται να αποτελεί μια πηγ-πλαστική εφελκυστική ζώνη αποκόλλησης (detachment), με έννοια κίνησης ανάλογα το επανω προς τα βόρεια ή προς τα νότια. Ετσι, στην εξέλιξη της έκτασης και της ανόδου του "μεταμορφικού συμπλέγματος" δημιουργείται μια κεκαμμένη συνολικά επιφάνεια αποκόλλησης.

Στη ζώνη αυτή καταλήγουν, εφ' όσον δεν επαναδραστηριοποιούνται, οι λυστρικές επιφάνειες των κανονικών ρηγμάτων της εφελκυστικής D2-τεκτονικής, καθώς και οι επιφάνειες των ορίων των ανωτέρων καλυμμάτων, οι οποίες και αποτελούν ουσιαστικά μικρής γωνίας κλίσης κανονικά ρηγμάτα (σχ.1,6,7).

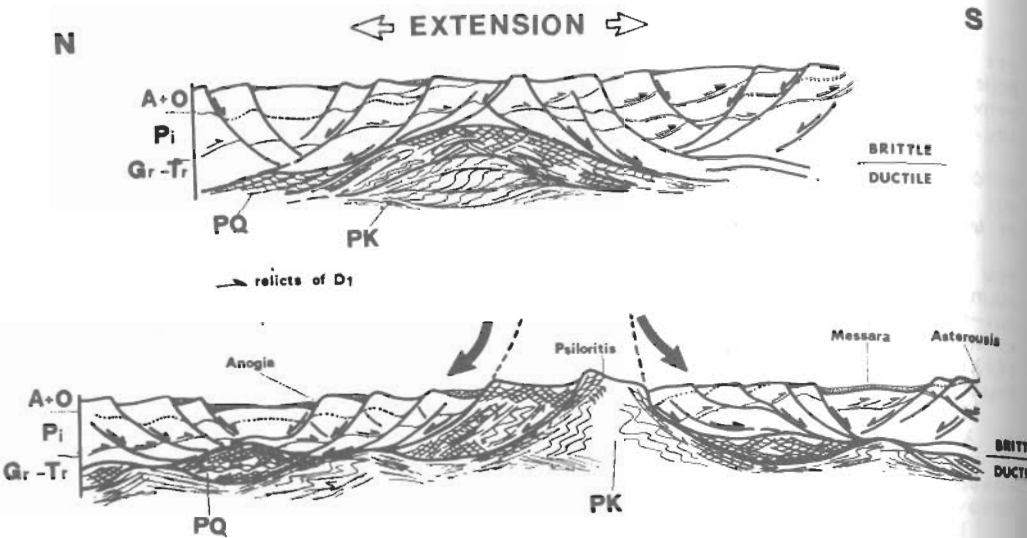
Εξ αλλού οι αλλεπάλληλες παχύνσεις και απολεπτύνσεις των διαφόρων τεκτονικών καλυμμάτων, καθώς και η απουσία κατά θέσεις, ενοτήτων της τεκτονοστρωματογραφικής στήλης (σχ.1), δηλώνει ακριβώς την αποκόλληση και διαφυγή των τεκτονικών ενοτήτων σε ένα εφελκυστικό καθεστώς, που η συμμετρία του συμπιπτει με αυτό της πλαστικής D2-τεκτονικής των κατώτερων καλυμμάτων (σχ.5,6).

Επί πλέον στα μεταμοφωμένα μέλη των ανωτέρων τεκτονικά καλυμμάτων αποτυπώνεται, πάνω σε μια παλιότερη επιφάνεια σχιστότητας, μια υπολειμματική ορυκτολογική L0-γράμμωση έκτασης με περιπου ABA-ΔΝΔ ανάπτυξη (σχ.3,7), που δεν αναγνωρίσθηκε στην κατώτερη πλάκα, δηλώνοντας έτσι τη δράση μιας προ-ολιγοκαϊνικής D0-τεκτονικής. Η L0-γράμμωση έκτασης διαγράφεται ανάλογα από την παράλληλη ανάπτυξη και επιμήκυνση ορυκτών, κυρίως του χλωρίτη, χρυσοτίλη, ακτινολίθου, πλαγιοκλάστου, επιδότου, και λευκού μαρμαρύγια. Στις θέσεις οπου παρατηρήθηκε η D0-τεκτονική, αυτή εκφράζεται ως ομοαξονική-παραμόρφωση (σχ.2), που έλαβε χώρα σε συνθήκες χαμηλού βαθμού μεταμόρφωσης.

Πιστεύουμε ότι η D0-παραμόρφωση αποτελεί τις υπολειμματικές υφές που συνδέονται με την εξέλιξη μιας ζώνης συρραφής, μεταξύ μιας παλιάς πειριωτικής μάζας, που αντιπροσωπεύεται σήμερα από το κρυσταλλοσχιστώδες του καλύμματος των Αστερουσίων και της εμπροσθοχώρας, που αντιπροσωπεύεται από το κάλυμα του Γαβρόβου-Τρίπολης, όπως προτείνεται και από τον BONNEAU (1984). Η τεκτονική αυτή σύγκρουσης προηγήθηκε της ολιγοκαϊνικής D1-συμπλέσης.

Οι αλπικής ηλικίας ενόπτες μιγμάτων Αρβης, Μιαμού και Βάτου, που παρεμβάλλονται μεταξύ του κρυσταλλοσχιστώδους των Αστερουσίων και των καλυμμάτων της Πίνδου και Γαβρόβου, αντιπροσωπεύουν πιθανόν, μικρά υπολειμματα της αρχικής αυτής ζώνης συρραφής, που διασώθηκαν από την επίδραση των μεταγενέστερων ολιγοκαϊνικής-μειοκαϊνικής ηλικίας, D1-και D2-τεκτονικών γεγονότων. Για την ενότητα Βάτου περιγράφεται επιπλέον, μια πρό-ολιγοκαϊνική (ιουρασική?) HP/LT-μεταμόρφωση (σχ.1, VICENTE 1972, BONNEAU & LYS 1978, KRAHL 1982).

Ανάλογη τεκτονοστρωματογραφία στην πειριωτική Ελλάδα και στις Κυκλαδες (σχ.1,7), αποτελεί την κύρια έκφραση της πωκαϊνικής πειριωτικής σύγκρουσης και των συνοδών φαινομένων της, στο Ελληνικό ορογενές (JACOBSHAGEN et al. 1978, DÜRR et al. 1978, LISTER et al.



Σχ. 6 Σχηματικές τομές που παρουσιάζουν τα στάδια εξέλιξης της μειοκαινικής πλικίας, πεπειρωτικής έκτασης στο κεντρικό τμήμα του Ελληνικού τόξου και της ανόδου του "μεταμορφικού συμπλέγματος" του Ψηλορείτη. Συνθήκες πλαστικής παραμόρφωσης επικρατούν στα κατώτερα επίπεδα του φλοιού, ενώ συνθήκες θραυσιγενούς παραμόρφωσης επικρατούν στα ανώτερα επίπεδα του φλοιού. Απεικονίζονται ορισμένες δομές-δείκτες κινηματικής που αναπτύσσονται κατά την εξέλιξη του εφελκυσμού (συμβολισμοί όπως σχ. 2).

Fig. 6 Schematic cross sections illustrating the Miocene evolutionary stages of the continental extension in the central part of the Hellenic Arc and the uplift of Psiloritis "metamorphic core complex". Ductile conditions are created at the lower levels of crust while brittle conditions at the upper. Also, structures -indicators of Kinematics formed during the evolution of the extension, are presented (symbols as Fig. 2).

1984, SCHLIEDESTDT et al 1987, PAPANIKOLAOU 1987, SCHERMER et al. 1988, KILIAS 1991, KILIAS et al. 1990, KILIAS et al. 1991).

#### Συμπεράσματα-Συζήτηση.

Η κινηματική ανάλυση της παραμόρφωσης του οικοδομήματος των καλυμμάτων της κεντρικής Κρήτης, έδειξε ότι στον χώρο αυτόν, πλαστική και θραυσιγενής παραμόρφωση άνιχνεύονται ως γεγονότα που λαμβάνουν χώρα ταυτόχρονα κατά το Ολιγόκαινο-Μειόκαινο σε διαφορετικό ύψος στον φλοιό της γης, στην κατώτερη και ανώτερη πλάκα αντίστοιχα και διαχωρίζονται από μια κανονική θραυσιγενή -πλαστική detachment-ζώνη (σχ. 6,7).

Η εμφάνιση των αμεταμόρφωτων ιζηματογενών πετρωμάτων των ενοτήτων Γαβρόβου και Πίνδου, πάνω από τις μεταμορφωμένες ενότητες των φυλλιτών-χαλαζιτών και πλακωδών ασβεστολίθων, η εμφάνιση των νεώτερης πλικίας ιζημάτων των ενοτήτων Γαβρόβου και Πίνδου, πάνω από τα

παλιότερης πλικίας πετρώματα της φυλλιτικής-χαλαζιτικής ενότητας, η εμφάνιση κεκαμμένης εφελκυστικής detachment-ζώνης ρηγμάτων, στα δρία των κατώτερων και ανώτερων τεκτονικών καλυμμάτων, που χαρακτηρίζεται από συνθήκες πυιπλαστικής παραμόρφωσης και η εμφάνιση μυλωνιτικών πολυπαραμόρφωμένων πετρωμάτων στα κατώτερα τεκτονικά καλύμματα, σε αντίθεση με την ανάπτυξη ταυτόχρονα, θραυσιγενούς τεκτονικής στα ανώτερα καλύμματα, οδηγούν στο να ερμηνευθεί το τεκτονικό παράθυρο του Ψηλορείτη ως ένα "μεταμορφικό συμπλέγμα πυρήνα" (metamorphic core complex), σύμφωνα με το μοντέλο του DAVIS (1983).

Ανάλογη δομή φαίνεται να αποτελούν επίσης και οι πυρήνες όλων των αντικλινικών οροσειρών της Κρήτης (Λευκά δρυ, δρυ Δίκτη, δρυ Σητείας) (σχ.1).

-Η τεκτονική ανάπτυξη και τελικά η αποκάλυψη του "μεταμορφικού συμπλέγματος" του Ψηλορείτη συνδέεται με ένα μακροχρόνιο στάδιο μειοκαινικής εφελκυστικής τεκτονικής, που χαρακτηρίζεται από έναν σχεδόν οριζόντιο, Β-Ν διεύθυνσης κύριο αξονα έφελκυσμού. Ο εφελκυσμός αυτός έλαβε χώρα σε συνθήκες συνολικής ομοαξονικής παραμόρφωσης και προκάλεσε σημαντική λέπτυνση και διαφυγή πεπειρωτικών μαζών κατά μήκος εφελκυστικών πυιπλαστικών ζωνών διάτημης. Το τεκτονικό αυτό καθεστώς ακολούθησε προοδευτικά και επηρέασε σε μεγάλο βαθμό τις δομές ενός, ολιγοκαινικής-μειοκαινικής πλικίας, συμπιεστικού γεγονότος, που προκάλεσε τη συσσώρευση των τεκτονικών καλυμμάτων και την αύξηση του πάχους του "πρίσματος επαύξησης" στο κεντρικό τμήμα του Ελληνικού τόξου, με σύγχρονη υποβύθιση πεπειρωτικού φλοιού (σχ.7).

-Σχετικά νεότερη Α-Δ συμπίεση, αναπτύσσεται εξελικτικά κατά το Μέσο-Άνω Μειόκαινο, κάθετα στη διεύθυνση της κύριας έκτασης του οικοδομήματος των καλυμμάτων, χωρίς περιστροφή του τελικού ελλειψοειδούς παραμόρφωσης. Η συμπίεση αυτή πιθανόν, διευκολύνει, κατά μήκος ρηγίγενων δομών, την υποοριζόντια διαφυγή των πεπειρωτικών μαζών σε μια διεύθυνση κάθετα προς την ανάπτυξη της.

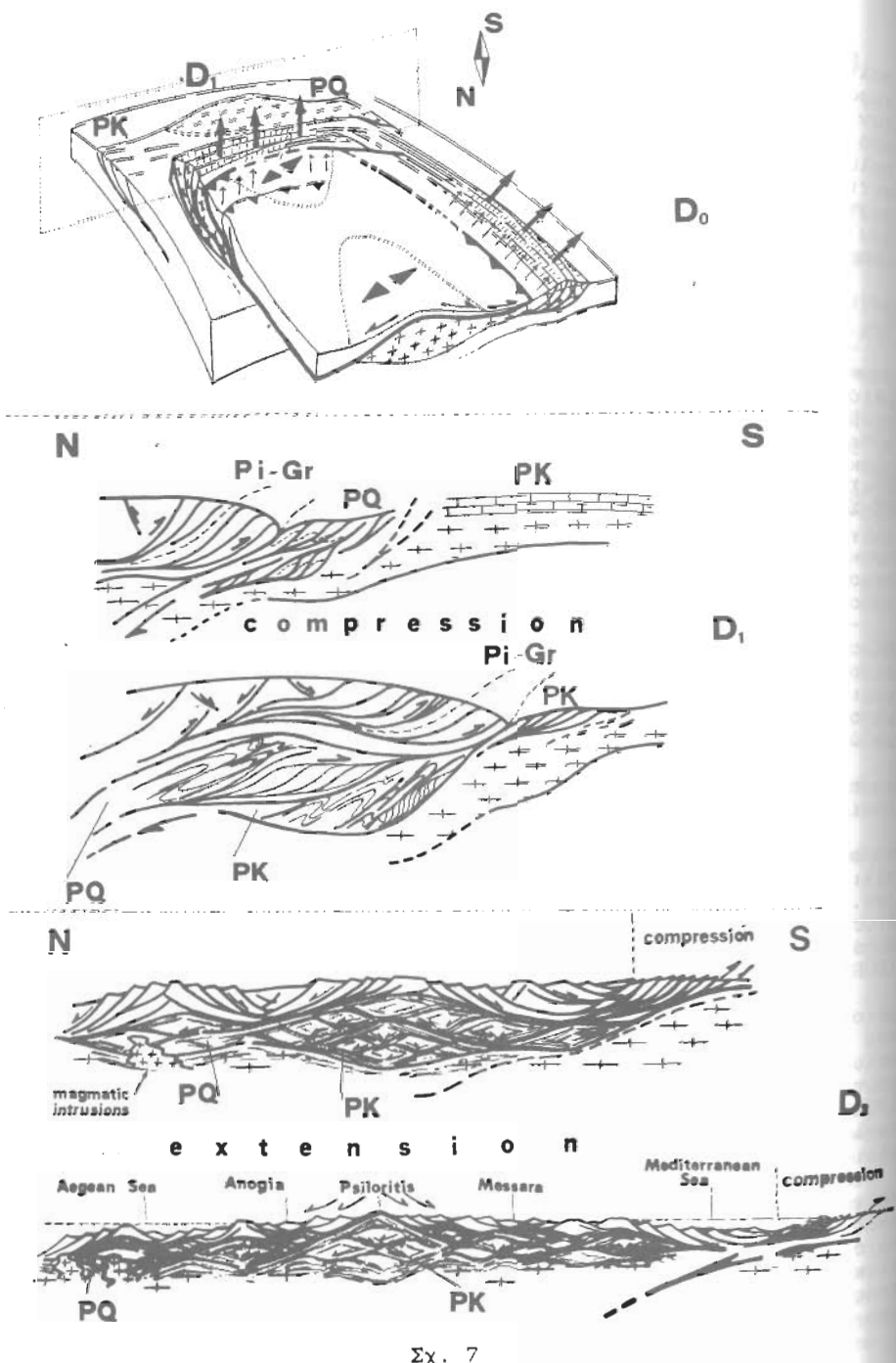
Αναπτύσσονται έτσι κατά το Μειόκαινο οι προυποθέσεις για την ανάπτυξη ενός συμπιεστικού πεδίου στο μέτωπο των διαφυγόντων πεπειρωτικών μαζών και η μεταφορά της συμπίεσης προς τα νότια (σχ.7).

-Η σημαντική αυτή ολισθηση και διαφυγή πεπειρωτικού φλοιού, οδηγεί προοδευτικά από το Άνω Μειόκαινο και μετά, στην άνοδο, ψύξη και τελικά αποκάλυψη του "μεταμορφικού συμπλέγματος πυρήνα" του Ψηλορείτη (σχ.6,7). Η σημαντική λέπτυνση του πεπειρωτικού φλοιού κατά το διάστημα αυτό, διευκολύνει την ανώ μειοκαινικής πλικίας, μαγματική δράση εσωτερικά του "πρίσματος επαύξησης", στην περιοχή των Κυκλαδών (DÜRR et al. 1978, ANDRIESSEN et al. 1979, ALTHERR et al. 1982).

Δυο κύρια μοντέλα θα μπορούσαν να προταθούν για την ερμηνεία της μειοκαινικής πλαστικής έκτασης-λέπτυνσης και αποκόλλησης στην περιοχή του παράθυρου του Ψηλορείτη: α. Βαρυτικό άπλωμα των τεκτονικών καλυμμάτων και ολισθηση από τα τοπογραφικά υψηλότερα σημεία προς τα χαμηλότερα, αποτέλεσμα ανόδου ενός υπερπαχυμένου φλοιού (PLATT 1986). β. Ηπειρωτική πλαγια διαφυγή αποτέλεσμα ανάπτυξης ενός εφελκυστικού καθεστώτος σε αντίδραση μιας συμπίεσης σε υλικό του φλοιού (NEUBAUER 1988).

Η παρουσία πεπειρωτικού φλοιού που υποβυθισθήκε κατώ από τα καλύμματα της ανώτερης πλάκας, ενισχύει την άποψη για την ανάπτυξη ενός σχεδόν οριζόντιου εφελκυστικού καθεστώτος και αντίστοιχης ολισθησης μαζών, αποτέλεσμα πλαστικής ανόδου υποβυθισμένου φλοιού υλικού. Η υπερπάχυνση εξ αλλού της σφήνας αποτέλεσμα της ΔΙ-συμπίεσης, οδηγεί σε ανάλογη υπόθεση σχετικά με τον μηχανισμό αναπτυξής του εφελκυστικού πεδίου και της λέπτυνσης του φλοιού.

Επι πλεον το κλασικό μοντέλο της πλάγιας διαφυγής πεπειρωτικών



Σχ. 7 Τεκτονική ανάπτυξη της περιοχής της κεντρικής Κρήτης, από το Κρητιδικό έως το Μειόκαλυντο (συμβολίουσαν όπως σχ. 2). Την έκταση και λέπτυνση (D2-γεγονός), κατά το Μειόκαλυντο, της υπεργιασμένης φύσισκης βιβλιοθήκης "Θεόφραστος" - Τμήμα Γεωλογίας ΑΠΘ) - Οι παλαιότερες γεωγραφικές μονάδες αναπτύσσονται στην περιοχή της Κρήτης, με την πρώτη περίοδο της πετρωτικής διαφύγης, κανένα πολύ πιθανό την παραδοχή του μοντέλου της πετρωτικής διαφύγης. Αυτή πραγματοποιήθηκε κάθετα προς τη διεύθυνση κίνησης της μικροπλάκας της Μικράς Ασίας, προς μία κατεύθυνση με την μικρότερη αντίσταση, με αποτέλεσμα την ανάπτυξη στο μέτωπο των διαφυγόντων μαζών συμπιεστικού πεδίου τάσεων (σχ. 7). Ως μία τέτοια κατεύθυνση θα μπορούσαμε να δούμε την σημερινή ενέργη, Ελληνική ζώνης Βούθισης, προς την οποία εξελικτικά μετατοπίσθηκε η συμπίεση (σχ. 7).

μαζών προσπερίεται επιπλέον παράμορφωση. Εμείς παρατηρούμε λέπτυνση και αναθέρμανση ενός υπερπαχυμένου τυμπατού του πετρωτικού φλοιού.

Από την άλλη μεριά η προσδευτική ανάπτυξη, στο Μέσο-Άνω Μειόκαλυντο, της Α-Δ διεύθυνσης συμπίεσης, σε συνδυασμό με την πρώτη περίοδο της διαφύγης της μικροπλάκας της Μικράς Ασίας (SENGÜR et al. 1985) και της αναμενόμενής αντίστασης της Ελληνικής πετρωτικής χώρας, κάνει πολύ πιθανό την παραδοχή του μοντέλου της πετρωτικής διαφύγης. Αυτή πραγματοποιήθηκε κάθετα προς τη διεύθυνση κίνησης της μικροπλάκας της Μικράς Ασίας, προς μία κατεύθυνση με την μικρότερη αντίσταση, με αποτέλεσμα την ανάπτυξη στο μέτωπο των διαφυγόντων μαζών συμπιεστικού πεδίου τάσεων (σχ. 7). Ως μία τέτοια κατεύθυνση θα μπορούσαμε να δούμε την σημερινή ενέργη, Ελληνική ζώνης Βούθισης, προς την οποία εξελικτικά μετατοπίσθηκε η συμπίεση (σχ. 7).

Οι MEULENKAMP et al. (1988) παραδέχονται την έναρξη ενός "roll-back" της Ελληνικής ζώνης Βούθισης προς τη σημερινή της θέση κατά το Μέσο-Άνω Μειόκαλυντο (περίπου 13Ma). Το γεγονός συμπίπτει με την υπολογιζόμενη από τους LEPICHON & ANGELIER (1979) έναρξη του ανοίγματος της λεκάνης του Νοτίου Αιγαίου.

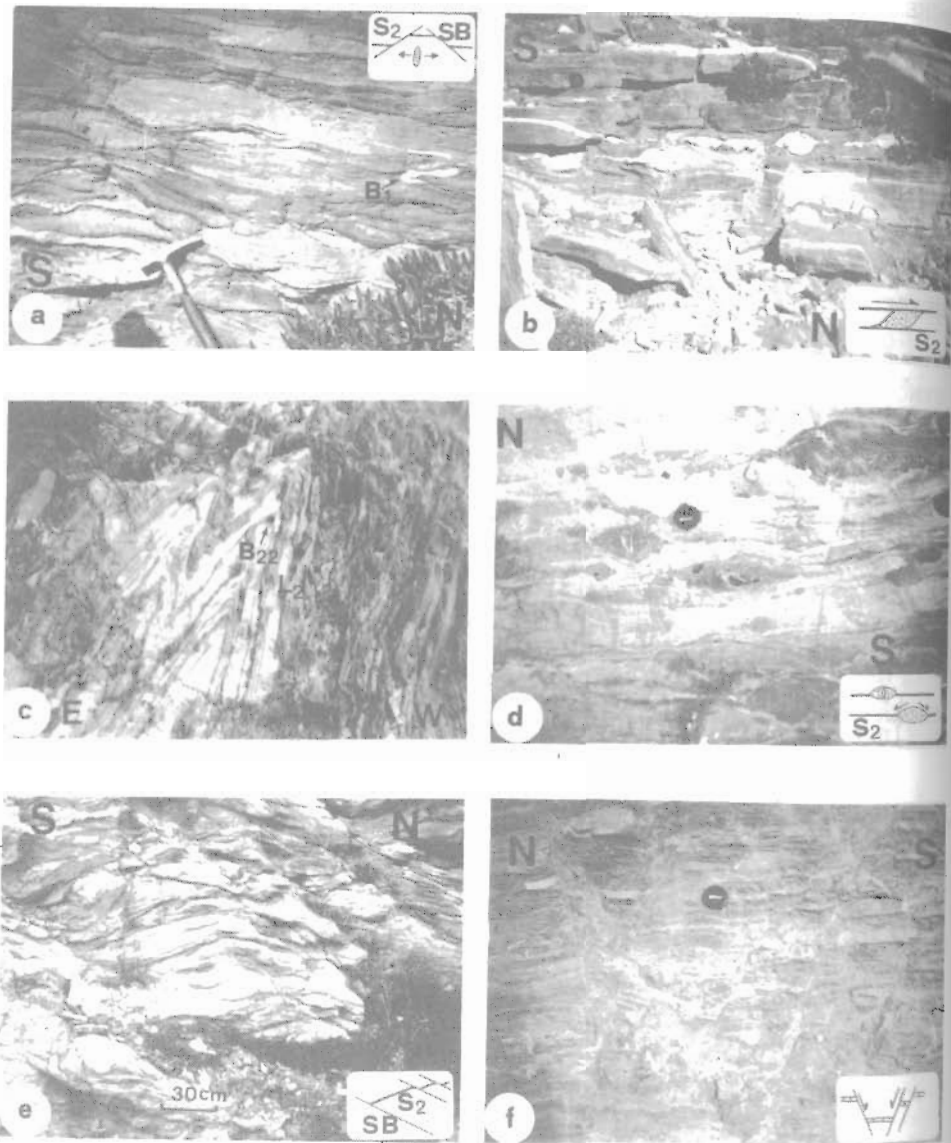
Η συμμετρία επίσης, των μεγάλων γωνιών οριζόντιας μετατόπισης ρηγμάτων και των Α-Δ κανονικών συζυγών ρηγμάτων, που περιγράψαμε, ενισχύουν την παραδοχή του μοντέλου της πετρωτικής διαφύγης, το κέντρο της οποίας θα πρέπει να το αναζητήσουμε πιθανόν, σε εσωτερικότερο χώρο.

Η ταυτοχρόνη εμφάνιση χαρακτήρων αμφότερων των προτεινόμενων μοντέλων λέπτυνσης και διαφύγης πετρωτικού υλικού, μας αφήνει να υποθέσουμε κατά την περίοδο του Μειόκαλυντο στην Κρήτη, ενα συνδυασμό εξέλιξης των γεγονοτών των συνδεδεμένων με τα δυο μοντέλα. Η έκταση και λέπτυνση του πετρωτικού φλοιού και προσδευτικά η άνοδος του "μεταμορφικού συμπλέγματος" του Ψηλορείτη, θα πρέπει να πρηλθεί, τοσο από πλάγια διαφύγη πετρωτικού φλοιού λόγω συμπίεσης του, όσο και από μία "βαρυτική αστάθεια", αποτέλεσμα της υπερπάχυνσης του πετρωτικού φλοιού κατά την περίοδο του Θλιγοκαλυντο-Μειόκαλυντο. Πιθανόν τα δυο γεγονότα να έλαβαν χώρα σε μία εξελικτική πορεία, το ένα μετά το άλλο.

#### Βιβλιογραφία.

- ALEXOPOULOS, A. (1989): Remarks on the geological structure of the area SW of Lasithi plateau (Greece). -Bull. Geol. Soc. Greece. XXIII/1, 131-144.
- ALTHERR, R., KREUZER, H., WENDT, I., LENZ, H., WAGNER, G.-A., KELLER, J., HARRE, W. & HOHNDÖRF, A. (1982): A late Oligocene/early Miocene high temperature belt in the Attic-Cycladic crystalline complex (SE Pelagonian, Greece). -Geol. Jg., 23, 97-164.
- ANDRIESEN, P.-A., BOELRUK, N.-A., HERBEDA, E.-H., PRIEM, H.-M., VERDURMEN, E.-A., & VERSCHURE, R.-H. (1979): -Dating the events of metamorphism and granitic magmatism in the Alpine Orogen at Naxos (Cyclades, Greece). -Contr. Miner. & petrol., 69, 215-225.
- ANGELIER, J. (1979): Determination of the mean principal directions of stresses for a given fault population. -Tectonophysics, 56, T17-T26.
- BONNEAU, M. (1984): Correlation of the Hellenide nappes in the south-east Aegean and their tectonic reconstruction. -Geol. Soc. London, sp. publ. 17, 517-527.
- BONNEAU, M. & FLEURY, J.-J. (1971): Precisions sur la série d'Ethia (Crete, Grece); existence d'un premier flysch mesocretace. -C.r. Seances Acad. Sci. Paris, 272, 1840-1842.
- BONNEAU, M. & LYS, M. (1978): Sur la présence de Permien fossilière dans l'unité de Vatos (Crete); sa nature interne et l'ampleur des charriages dans l'arc egeen. -C.r. Seances Acad. Sci. Paris, 287, 423-426.
- BONNEAU, M., BEAUVAIS, L. & MIDDLEMISS, F.-A. (1974): L'unité de Miamou (Crete, Grece) et sa macrofaune d'age Jurassique supérieur (Brachiopods, Madreporaires). -Ann. soc. geol. Nord, 94, 71-85.
- CREUTZBURG, N. & SEIDEL, E. (1975): Zum Stand der Geologie des praeogens auf Kreta. -N. Jb. Geol. Palaont. Abh., 149, 363-383.
- DAVIES, P. (1978): Über das Vorkommen granitischer Gesteine innerhalb des metamorphen Systems der Asterousia-Gebiete der Insel Kreta. -Prac. Acad. Athens, 42, 253-270.

- DAVIS, G.H. (1983): A shear zone model for the origin of metamorphic core complex. -Geology, 11, 342-347.
- DÜRR, S., ALTHERR, R., KELLER, J., OKRUSCH, M., & SEIDEL, E. (1978): The median Aegean crystalline belt. Stratigraphy, structure, metamorphism, magmatism. -In: Cloos, H., Roeder, D., & Schmidt, K. (eds), Alps, Apennines Hellenides. E. Schweizerbart'sche Verlag, 445-476.
- ENGLAND, P.-C. & THOMPSON, A.-B. (1984): Pressure-temperature-time marks of regional metamorphism beat transfer during the evolution of region of thickened continental crust. -Journ. of Petrol., 25, 881-928.
- EPTING, M., KÜDRASS, H. & SCHAFFER, A. (1972): Stratigraphie et position des séries métamorphiques aux Taïea Ori. -Z. dt. geol. Ges., 123, 365-370.
- FYTROLAKIS, N. (1978): Συμβολή στη γεωλογική έρευνα της Κρήτης. -Δελτ. Έλλην. Γεωλ. Εταιρ., XIII/2, 101-115.
- FYTROLAKIS, N. (1980): The geological structure of Crete. Problems, observations and conclusions. -Habil. Thesis, Nat. Techn. Univ. Athens, 147 S.
- GREILING, R. (1982): The metamorphic and structural evolution of the phyllite-quartzite nappe of western Crete. -J. struct. geol., 4, 3, 291-297.
- HALL, R., AUDLEY-CHARLES, M.-G. & CARTER, D.-J. (1984): The significance of Crete for the evolution of the eastern Mediterranean. -Geol. soc. London, sp. publ., 17, 499-516.
- JACOBSEN, V., DÜRR, S.T., KOCKEL, F., KOPP, K.-O., KOWALCZYK, G., BERKEHMER, H. & BÜTTNER, D. (1978): Structure and geodynamic evolution of the Aegean region. -In: Cloos, H., Roeder, D. & Schmidt, K. (eds), Alps, Apennines, Hellenides. E. Schweizerbart'sche Verlag, 537-564.
- KILIAS, A. (1991): Transpressive Tektonik in den zentralen Helleniden. Änderung der Translationspfade durch die Transpression (Nord-Zentral-Griechenland). -N. Jb. Geol. Paläontol. Mh. 1991(5), 291-306.
- KILIAS, A., SOTIRIADIS, L. & MOUNTAKIS, D. (1986): New data concerning the structural geology of the Western Crete. The transgressive carbonate mass of the Herospilion Area. -Geol. Geophys. res. Special Issue, IGME, 213-223.
- KILIAS, A., FRISCH, W., RATSBACH, L. & SFEIKOS, A. (1990): Structural evolution and P/T conditions of metamorphism of blue schists of E. Thessaly (Greece). -5th Congr. Geol. Soc. Greece, Tessaloniki, 81-99.
- KILIAS, A., FASOULAS, C.H., PRINIOUKAIS, M., FRISCH, W. & SFEIKOS, A. (1991): Deformation and HP/LT Metamorphic conditions and at the tectonic window of Kranea (W. Thessaly, N. Greece). -Z. dt. geol. Ges., 142, 87-96.
- KÖNIG, H. & KUSS, S. (1980): Neue Daten für Biostratigraphie des permotriadiischen Autochthonus der Insel Kreta (Griechenland). -N. Jb. Geol. Paläontol. Mh., 9, 525-540.
- KOPP, K.-O., OTT, E. (1977): Spezialkarten in Umkreis neuer Fossifunde im Trypali- und Tripolitsa-Kalken West-Kretas. -N. Jb. Geol. Paläontol. Mh. 1977(5), 217-238.
- KRAHL, J. (1982): The significance of the Blue Schists in the Area of Monastery Preveli, south-western part of central Crete, Greece. -International Symp. on the Hellenic arc and trench (H.E.A.T.), Proceedings V, I, 324-342.
- KRAHL, J., KAUFMANN, G., KOZUR, H., RICHTER, D., FORSTER, O. & HEINRITZI, F. (1983): Neue Daten zur Biostratigraphie und zur tektonischen Lagerung der Phyllit-Gruppe und der Trypali-Gruppe auf der Insel Kreta (Griechenland). -Geol. Rdsch., 72, 1147-1166.
- KUSS, S.-E. & THORBECKE, G. (1974): Die präneogenen Gesteine der Insel Kreta und ihre korellierbarkeit im agaischen Raum. -Ber. Naturforsch. Ges. Freiburg, 64, 39-75.
- LEPICHON, X. & ANGELIER, J. (1979): The Hellenic Arc And Trench system: a key to the neotectonic evolution of the eastern Mediterranean area. -Tectonophysics, 69, 1-42.
- LISTER, G.-S., BANGA, G. & FEENSTRA, A. (1984): Metamorphic core complexes of cordilleran type in the Cyclades, Aegean Sea, Greece. -Geology, 12, 221-225.
- MEULENCAMP, J.-E., JONKERS, A. & SPAAK, P. (1977): Late Miocene to early Pliocene development of Crete. -VI Col. Geol. Aegean region, Athen, 269-280.
- MEULENCAMP, J.-E., WORTEL, M.J.R., VAN WAMEL, W.-A., SPAAKMAN, W. & HOOGERDÜYNSTRATING, E. (1988): On the Hellenic subduction zone and the geodynamic evolution of Crete since the late Middle Miocene. -Tectonophysics, 146, 203-215.
- NEUBAUER, F. (1988): Bau und Entwicklungsgeschichte des Rennfeld-Mugel- und des Gleinalmkristallins (Ostalpen). -Abh. Geol. Bundesanst., 42, 1-137.
- PAPANIKOLAOU, D. (1987): Tectonic evolution of the Cycladic blueschist belt (Aegean Sea, Greece). -In: Helgeson, H.-C. & Schuling, R.-D. (eds), Chemical Transport in Metasomatic Processes, 429-450.
- PAPAPETROU-ZAMANIS, A. (1965): A contribution to the Θεσσαλονίκη "Θεόφραστος" - Τμήμα Γεωλογίας. A.P.Θ. Ann. Geol. Pays Hell., 16, 207-232.
- PLATT, J.-P. (1986): Dynamics of orogenic wedges and the uplift of high-pressure metamorphic rocks. -Geol. Soc. America Bull., 97, 1037-1057.
- RAMSAY, G.J. & HÜBER, I. M. (1983/1987): The techniques of modern structural geology, vol. 1 & 2. -Academic press Inc. XIII+307 S. & XII+700 S.
- SCHERMER, E., LUX, D. & BURCHFIELD, B. (1988): Age and tectonic significance of metamorphic events in the Mt. Olympos region (Greece). -4rd Congr. Geol. Soc. Greece, 3-15.
- SCHLIESTEDT, M., ALTHERR, R. & MATTHEWS, A. (1987): Evolution of the Cycladic crystalline complex. Petrology, isotope geochemistry and geochronology. -In: Helgeson, H.-C. & Schuling, R.-D. (eds), Chemical Transport in metasomatism, 76-94.
- SEIDEL, E. (1971): Die Pindos-Serie in West Kreta, auf der Insel Gavdos und im Kedros-Gebiet (Mittelkreta). -N. Jb. Geol. Paläont. Abh., 137, 443-460.
- SEIDEL, E. (1978): Zur Petrologie der Phyllit-Quarzit-Serie Kretas. -Habil.-Schr. Techn. Univ. Braunschweig, 145 S.
- SEIDEL, E., KREUZER, H. & HARRE, W. (1982): A Late Oligocene/Early Miocene High Pressure Belt in the external Hellenides. -Geol. Jb., E 23, 165-206.
- SEIDEL, E., OKRUSCH, M., KREUZER, H., RASCHKA, H. & HARRE, W. (1981): Eo-Alpine metamorphism in the uppermost unit of the Cretan nappe system, petrology and geochronology: Part 2. Synopsis of high temperature metamorphics and associated ophiolites. -Contr. mineral. petrol., 76, 351-361.
- SENGÖR, A.-M., GORUR, N. & SAROGLOU, F. (1985): Strike-slip faulting and related basin formation in zones of tectonic escape Turkey a case study. -Soc. Econ. Paleont. Mineral Spec. Publ., 37, 227-264.
- SONDER, L.-J., ENGLAND, P.-C., WERNICK, B.-P. & CHRISTIANSEN, R.-L. (1987): A physical model for cenozoic extension of western North Amerika. -In: Coward, M.-P., Dewey, W.-D. & Hancock, P.-L. (eds). Continental extensional tectonics. -Geol. soc. London, sp. publ., 28, 187-201.
- THORBECKE, G. (1973): Die Gesteine der Ophiolith-Decke von Anogia/Mittel kreta. -Berichte Naturforsch. Gesell. Freiburg, 63, 81-92.
- VICENTE, J.-C. (1972): Etude géologique de l'île de Gavdos (Grèce), la plus méridionale de l'Europe. -Bull. Soc. géol. France, 12, 81-92.
- WACHENDORF, H., GRALLA, P., KOLL, J. & SCHULZE, I. (1980): Geodynamik des Mittelgriechischen Deckenstapels (nördliches Dikti-Gebirge). -Geot. Forsch., 59, 1-72.
- ZAGER, D. (1972): Sedimentologie der Tripolitsakarbonate im nördlichen Mittelkreta. -Diss., Univ. Freiburg, 1-165.



Φωτ.1. α: "Intrafoliale" Β1 πτυχές, εφελκυστικές διακλάσεις κάθετα στην S2 σχιστοπλάκα και συντομητικά φύσημγών εφελκυστικών ζυνών διάτηματος στο καλυμματικό φυλλοτύπο=χαλαστρών, (ΕΑΥ, οδός Ηρακλείου-Ρεθύμνου). β: σ-κλάστες και S2 σχιστοπλάκα στην σειρά των φλαμέρων διαβεστολιάδων, (Ηηλορείτης, νότια από τα Ανυψεις). γ: Αρχιμετρες Β22 γωνιώδεις πτυχές με κίνηση προς τη δύση στο καλυμματικό φυλλοτύπο=χαλαστρών, (ΕΑΥ, οδός Ηρακλείου-Ρεθύμνου). δ: Αναπτυγμένη συμμετρική ρογόπιναρη δούνη και εφελκυστικών διατάξεων κατά την D2 παραμόρφωση, στο καλυμματικό φυλλοτύπο=χαλαστρών, (Δυτικά του Ηρακλείου). ε: Μικρής γωνίας εφελκυστικές ζυνές διάτηματος κατά το D2 γεγονός, στο καλυμματικό φυλλοτύπο=χαλαστρών, Εννοιώντας διάτηματος το επάνω προς Βόρεια, (Περιφερειακή Βιβλιοθήκη "Θεοφράστος" στην Ημένη Γεωλογίας Α. Πιθανώταν σε φυλσχή του καλυμματικού φυλλοτύπου=χαλαστρών Ιεριπολής.